

## ორგანიზაციალი მაინტენანსური რგოლის რობასტულობის აღაღიზი

ქეთევნ კოტრიკაძე

საქართველოს ტექნიკური უნივერსიტეტი

### რეზიუმე

ნაშრომში დასაბუთებულია ორელემენტიანი მაინტეგრებელი რგოლის სტრუქტურული რობასტულობა; მაკორექტირებელი რგოლის გადაცემის ფუნქციის ფესვური პოდოგრაფების საშუალებით მიღწეულია სტრუქტურული რობასტულობის კომპენსაცია.

**საკვანძო სიტყვები:** კორექცია. მაკორექტირებელი რგოლი. მაინტეგრებელი რგოლი. სტრუქტურული რობასტულობა. გადაცემის ფუნქცია. ფესვური პოდოგრაფი. ლოგარითმულ-ამპლიტუდურ-სიხშირული (ლასმ-ი) მახასიათებელი.

### 1. შესავალი

ავტომატური რეგულირების სისტემებში ერთ-ერთი მთავარი შემადგენელი ნაწილია მაკორექტირებელი რგოლები. კერძოდ, მაინტეგრებელი რგოლები. მათი ანალიზისთვის შესაძლებელია გამოყენებული იქნას რობასტული მართვის პრინციპები, ვინაიდან მაკორექტირებელი მაინტეგრებელი რგოლების პარამეტრები შესაძლებელია საკმაოდ ფართო საზღვრებში იცვლებოდეს. ნაშრომში განხილულია ორელემენტიანი მაკორექტირებელი მაინტეგრებელი რგოლების რობასტული ანალიზის ამოცანა.

### 2. ძირითადი ნაწილი

განვიხილოთ ორელემენტიანი მაინტეგრებელი მაკორექტირებელი რგოლი  $r, L, C$  წყაროთ. ასეთი წრედი შესაძლებელია გამოყენებული იქნას მხოლოდ და მხოლოდ ცვლადი დენის წრედებში. რგოლის ჩართვის სქემა ნაჩვენებია ნახ. 1-ზე. სქემისთვის გამოყენებულია შემდეგი აღნიშვნები:  $E$  - შემავალი სიგნალის წყაროს ემბ;  $r, L, C_0$  - წინაღობის ოპერატორის მდგრელებია;  $R, C$  - რგოლის პარამეტრებია;  $R_{\varphi}$  - რგოლის დატვირთვის წინაღობაა. თუ გისარგებლებთ შემდეგი აღნიშვნებით:  $Z_v = r + LS + \frac{1}{C_0 S}$ ;  $Z_I = R$ ;  $Z_2 = \frac{1}{CS}$ ;  $Z_{\varphi} = R_{\varphi}$  და

რგოლის გადაცემის ფუნქციით [1] მივიღებთ:

$$W_{EU_d}(S) = \frac{U_d(S)}{E(S)} = \frac{Z_2 Z_{\varphi}}{(Z_v + Z_1)(Z_2 + Z_{\varphi}) + Z_2 Z_{\varphi}} \quad (1)$$

ანუ

$$W_{EU_d}(S) = \frac{R_{\varphi} C_0 S}{[(r + R)C_0 S + LC_0 S^2 + 1](R_{\varphi} CS + 1) + R_{\varphi} C_0 S}. \quad (2)$$

თუ  $R_{\infty} \rightarrow \infty$ , მაშინ (2)-დან მივიღებთ:

$$W_{EU_\delta}^*(S) = \frac{1}{\tau T' \cdot S^2 + T' \cdot S + \frac{1}{k}}, \quad (3)$$

$$\text{სადაც } \tau = \frac{L}{r+R}; \quad T' = (r+R) \cdot C; \quad k = \frac{C_0}{C+C_0}.$$

გამოვიყვლით (3) გადაცემის ფუნქციის პოლუსების ტრაქტორიები, როცა ადგილი აქვს  $\tau$ -ს ცვლილებას  $[0;+\infty)$  ინტერვალში.

$$\text{თუ } \tau = 0, \text{ მაშინ } W_{EU_\delta}^*(S) \text{-ის საწყისი პოლუსია: } S = \frac{1}{kT'}; \quad \text{თუ } \tau \rightarrow \infty, \text{ მაშინ (3)-ს}$$

პოლუსები მიისწრაფიან საბოლოო ორმაგი პოლუსისკენ  $S = 0$ .

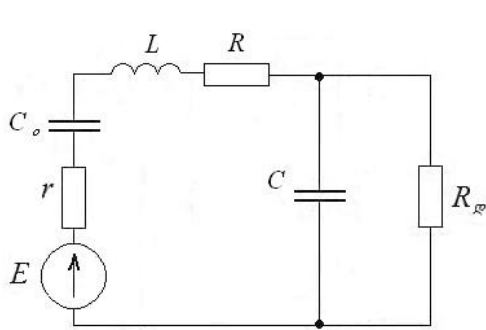
თუ ვისარგებლებთ ფესვური პოდოგრაფების განტოლებით [2,3]:

$$\left[ P_n(\delta) - \frac{\omega^2}{2!} P_n''(\delta) + \dots \right] \cdot \left[ Q_m(\delta) - \frac{\omega^2}{3!} Q_m'''(\delta) + \dots \right] - \\ - \left[ P_n'(\delta) - \frac{\omega^2}{3!} P_n'''(\delta) + \dots \right] \cdot \left[ Q_m(\delta) - \frac{\omega^2}{2!} Q_m''(\delta) + \dots \right] = 0 \quad (4)$$

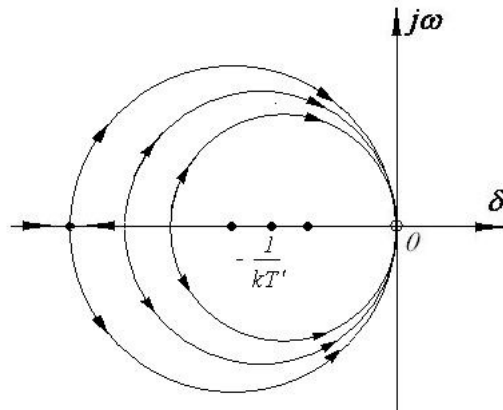
მაშინ მივიღებთ (3) გადაცემის ფუნქციის პოლუსების ტრაექტორიების განტოლება ჩაწერილს ნორმირებულ [4] სახეში:

$$\left( \delta + \frac{1}{kT'} \right)^2 + \omega^2 = \left( \frac{1}{kT'} \right)^2. \quad (5)$$

$$(5) \text{ წარმოადგენს წრეწირთა ოჯახს ცენტრით } \left( -\frac{1}{kT'}, 0 \right) \text{ და რადიუსით } \rho = \frac{1}{kT'} \text{ (ნახ. 2).}$$



ნახ. 1



ნახ. 2

ფესვური პოლოგრაფის ნამდვილი ორმაგი წერტილია:  $S = -\frac{2}{kT'}$ . ამ წერტილში  $\tau$  პარამეტრის მნიშვნელობაა:  $\tau = 0,25kT'$ . ფესვური პოლოგრაფის უდიდესი წარმოსახვითი ნაწილის მქონე წერტილებია:  $S = -\frac{1}{kT'} \pm j\frac{1}{kT'}$ . ამ წერტილებში  $\tau = 0,5kT'$ .

იდეალური გადაცემის ფუნქციას მაინტეგრებელი რგოლისთვის აქვს სახე:

$$W_{EU_\delta}^{\rho\varphi}(S) = \frac{1}{TS + 1}. \quad (6)$$

აქედან გამომდინარე, (3) გადაცემის ფუნქციის ერთი პოლუსი უნდა იყოს:  $S = -\frac{1}{T}$ , ხოლო მეორე პოლუსი უნდა იმყოფებოდეს წარმოსახვითი ღერძიდან მარცხნივ გაცილებით შორს ვიდრე  $S = -\frac{1}{T}$  ფესვია.

ეს უკანასკნელი პირობა შესრულდება, მაშინ თუ  $S = -\frac{1}{kT'}$  საწყისი წერტილი ახლოს იქნება  $S = -\frac{1}{T}$  სასურველ პოლუსთან. დავუშვათ, რომ  $S = -\frac{1}{T}$  და  $S = c$  საწყისს პოლუსს შორის მანძილი ტოლია სასურველ პოლუსამდე მანძილის  $\mu\%$ -ის. ეს პირობა ტოლობის სახით ასე ჩაიწერება:

$$-\frac{1}{kT'} + \frac{1}{T} = \frac{\mu}{100} \frac{1}{T}. \quad (7)$$

აქედან

$$kT' = \frac{100 \cdot T}{100 - \mu}. \quad (8)$$

თუ (3)-ის ერთი პოლუსია  $S = -\frac{1}{T}$ , მაშინ მეორე პოლუსი იქნება  $S = -\frac{100 - \mu}{\mu T}$ ; ხოლო  $\tau$

პარამეტრს უნდა ჰქონდეს მნიშვნელობა  $\tau = \frac{\mu T}{100}$ ; აქედან ჩანს, რომ (3)-ის მარცხენა პოლუსი

$\frac{100 - \mu}{\mu}$ -ჯერ მეტადაა დაშორებული წარმოსახვითი ღერძიდან, ვიდრე მარჯვენა პოლუსი. ცხადია,

რომ რაც უფრო მცირეა  $\mu$ , მით უფრო შორსაა  $j\omega$  ღერძიდან მარცხენა ფესვი და მით უფრო ზუსტად შეიძლება მივიღოთ იდეალური გადაცემის ფუნქცია (6).

ამგვარად, რეოლის პარამეტრების ანგარიშის თანმიმდევრობა ასეთია: ვირჩევთ  $\mu$ -ს და (8)

ფორმულით ვანგარიშობთ  $kT'$ -; ვპოულობთ  $\tau = \frac{\mu T}{100}$  და ვპოულობთ (3)-ის მეორე პოლუსის

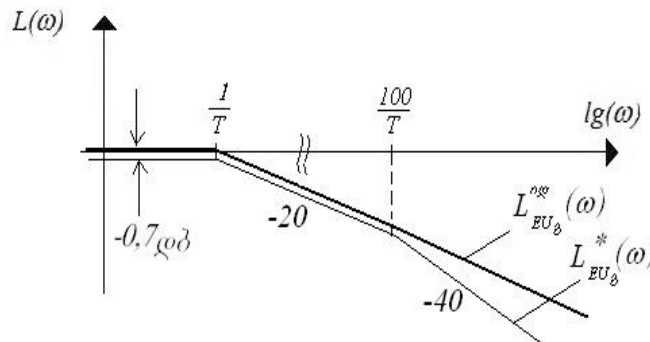
მნიშვნელობას  $S = -\frac{100 - \mu}{\mu T}$ ; მაშინ (3)-ის გადაცემის ფუნქცია მიიღებს სახეს:

$$W_{EU_\delta}^*(S) = \frac{k}{(TS + 1) \left( \frac{\mu T}{100 - \mu} \cdot S + 1 \right)} \approx \frac{k}{TS + 1} \approx \frac{1}{TS + 1} \approx W_{EU_\delta}^{0\omega}(S). \quad (9)$$

ჩატარებული ანალიზის ჭეშმარიტება ვაჩვენოთ მაგალითის საშუალებით. დავუშვათ, მოცემულია  $R = 1$  კომი,  $r = 0,1$  კომი,  $C = 10$  მასი, მაშინ  $T = 0,01$  წთ. ავირჩიოთ  $\mu = 1\%$ , მაშინ  $L = 0,11$  ჰე,  $C = 112$  მასი და  $k = 0,92$ .

$$W_{EU_\delta}^*(S) = \frac{0,92}{(TS + 1)(0,01 \cdot TS + 1)} \approx \frac{0,92}{TS + 1} \approx \frac{1}{TS + 1} \approx W_{EU_\delta}^{0\omega}(S). \quad (10)$$

$W_{EU_\delta}^*(S)$  და  $W_{EU_\delta}^{0\omega}(S)$ -ის ლოგარითმულ-ამპლიტუდურ-სიხშირული მახასიათებლები ნაჩვენებია (ლასმ-ი) ნახ. 3-ზე.  $W_{EU_\delta}^{0\omega}(S)$ -ის ლასმი-ის დახრებია 0, -20 და -40 დბ/დეკ.; ამასთანავე ბოლო შეუღლების სიხშირე, წინა შეუღლების სიხშირეზე 100-ჯერ მეტია, ამიტომ იგი კორექტირებული სისტემის სიხშირეთა ზოლის მაღალ არეში ზვდება და იგი სისტემის დინამიკაზე პრაქტიკულად არ მოქმედებს.



ნახ.3

### **3. დასკვნა**

დასტურებულია  $R, L, C$  მაინტეგრებელი რგოლის სტრუქტურული რობასტულობა, რომელიც გამოწვეულია შემავალი სიგნალის წყაროს არანულოვანი ოპერატორით. ფესვური პოდოგრაფის გამოყენებით, დასტურებულია სტრუქტურული რობასტულობის კომპენსაციის შესაძლებლობა და კერძო მაგალითზე ნაჩვენებია განხილული მეთოდის ეფექტურობა.

#### **ლიტერატურა:**

1. Зайцев Т. Ф. Коррекция систем автоматического управления постоянного и переменного тока. Москва: Энергия, 1989.
2. Evans W.R. Control systems synthesis by root locus method, Trans AJEE 69, 1950.
3. Удерман Э. Т. Метод корневого годографа в теории автоматических систем. Москва: Наука, 1972 .
4. Котригадзе О. Г. "Аналитические основы построения корневых годографов", Сборник докладов международной научной конференции "Проблемы управления и энергетики", №8, Тбилиси, 2004 г.

## **TWO-ELEMENT INTEGRATING CHAIN ROBUST ANALYSIS**

Kotrikadze Ketevan

Georgian Technical University

#### **Summary**

In the represented article there is proved the structural robustness of two-element integrating chain; structural robustness is compensated by correction chain transfer function's root locus.

## **РОБАСТНЫЙ АНАЛИЗ ДВУХЭЛЕМЕНТНОГО ИНТЕГРИРУЮЩЕГО ЗВЕНА**

Котригадзе К.

Грузинский Технический Университет

#### **Резюме**

В работе доказана структурная робастность двухэлементного интегрирующего звена; с помощью корневых годографов предаточной функции корректирующего звена достигнута компенсация структурной робастности.